

**ВЛИЯНИЕ ЭФФЕКТИВНОГО ПАРАМЕТРА РАССЕЯНИЯ
НА МАССУ ПЛОТНОСТИ СОСТОЯНИЙ
И ПОДВИЖНОСТЬ В ТВЕРДЫХ РАСТВОРАХ
НА ОСНОВЕ ХАЛЬКОГЕНИДОВ ВИСМУТА И СУРЬМЫ**

Кутасов В. А., Лукьянова Л. Н.

Определены температурные зависимости эффективной массы плотности состояний m/m_0 и подвижности μ_0 в твердых растворах на основе Bi_2Te_3 с соединениями Bi_2Se_3 , Sb_2Se_3 , Bi_2S_3 , In_2Te_3 в соответствии с многодолинной моделью зонной структуры. Величины m/m_0 и μ_0 получены на основании экспериментальных данных по температурным зависимостям гальваниомагнитных коэффициентов, измеренных в слабых магнитных полях (компонентов тензора эффекта Холла ρ_{ijk} и магнитосопротивления ρ_{ijkl}) совместно с электропроводностью σ и коэффициентом термоэдс α . При расчете холловской концентрации носителей n учитывался эффективный параметр рассеяния r_s , вычисленный из данных по термоэдс α и параметру вырождения β . Учет эффективного параметра рассеяния r_s позволяет получить близкие значения для концентраций носителей заряда, определенных в сильном магнитном поле и с учетом r_s в слабом магнитном поле, в отличие от данных, полученных для акустического механизма рассеяния при $r_s = -0.5$. Установлены концентрационные зависимости m/m_0 и μ_0 для различных составов исследованных твердых растворов.

Эффективная масса плотности состояний m/m_0 и подвижность носителей заряда μ_0 в твердых растворах на основе теллурида висмута (Bi_2Te_3) с соединениями Bi_2Se_3 , Sb_2Se_3 , Bi_2S_3 , In_2Te_3 определены из измерений гальваниомагнитных коэффициентов (компонентов тензора эффекта Холла ρ_{ijk} и магнитосопротивления ρ_{ijkl}), измеренных в слабых магнитных полях совместно с удельным сопротивлением ρ_{ij} и коэффициентом термоэдс α на основе многодолинной модели зонной структуры [1, 2].

Концентрация носителей заряда в случае таких анизотропных материалов, какими являются рассматриваемые твердые растворы, определялась с учетом параметра анизотропии B_\perp в виде

$$n = AB_\perp/e\rho_{123}, \quad (1)$$

где A — холл-фактор, B_\perp — параметр анизотропии, определяемый в соответствии с многодолинной моделью как

$$B_\perp = \left[\left(\frac{\rho_{11}\rho_{1133}}{\rho_{123}^2} + 1 \right) \beta \right]^{-1}. \quad (2)$$

Здесь $\beta = I_1^2/I_0I_2$, I_n — изотропные множители в выражениях электропроводности (I_0), холловской проводимости (I_1) и магнитопроводимости (I_2):

$$I_n = \left(\frac{e}{m} \right)^n \frac{e^2}{3\pi^2 m} \left(\frac{2m}{\pi^2} \right)^{1/2} \frac{1}{|\alpha_{ij}|^{1/2}} \int_0^\infty \tau^{n+1} \varepsilon^{1/2} \frac{\partial f_0}{\partial \varepsilon} |d\varepsilon|, \quad (3)$$

где $|\alpha_{ij}|$ — детерминант, составленный из компонентов тензора обратных эффективных масс $\tilde{\alpha}$:

$$|\alpha_{ij}| = \alpha_{11}(\alpha_{22}\alpha_{33} - \alpha_{23}^2). \quad (4)$$

Для изотропного времени релаксации τ , когда $\tau = a\varepsilon^r$, где a — скаляр, интегралы I_n сводятся к интегралам Ферми

$$F_r(\eta) = \int_0^\infty \frac{x^r}{e^{x-\eta}} dx, \quad (5)$$

и для β имеем

$$\beta = \frac{(2r + \frac{3}{2})^2 F_{2r+1/2}^2(\eta)}{(r + \frac{3}{2})(3r + \frac{3}{2}) F_{r+1/2}(\eta) F_{3r+1/2}(\eta)}. \quad (6)$$

Расчет интегралов Ферми $F(r, \eta)$ [3] проводился по методу Симпсона, усовершенствованному в работе [4], когда интеграл представляется в виде

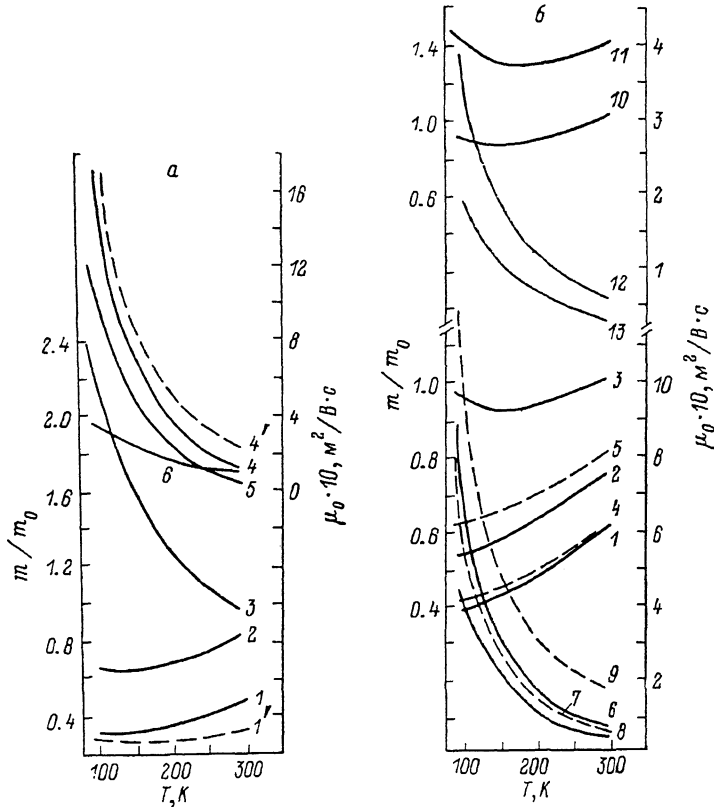


Рис. 1. Температурные зависимости эффективной массы m/m_0 и подвижности μ_0 в $n\text{-Bi}_2\text{Te}_3$ и $\text{Bi}_2\text{Te}_{3-x}\text{Se}_x$ с учетом r_s .

а) $n\text{-Bi}_2\text{Te}_3$: 1—3 — m/m_0 ; 4—6 — μ_0 . Штриховые линии: 1' — m/m_0 ; 4' — μ_0 ; ($r = -0.5$): 1 — $n \cdot 10^{19}$, см $^{-3}$; 1' — 0.25; 1, 4 — 0.3; 2, 5 — 0.75; 3, 6 — 9.2. б) $\text{Bi}_2\text{Te}_{3-x}\text{Se}_x$, $x = 0.12$: 1—3 — m/m_0 ; 7—9 — μ_0 ; (r_s): 4, 5 — m/m_0 ; 6—8 — μ_0 ; ($r = -0.5$); $n \cdot 10^{19}$, см $^{-3}$: 1, 6 — 0.15; 2 — 0.5; 3, 8 — 2.9; ($r = -0.5$); $n \cdot 10^{19}$, см $^{-3}$: 4, 7 — 0.18; 5, 9 — 0.45. $x = 0.3$: 10, 11 — m/m_0 ; 12, 13 — μ_0 ; (r_s); $n \cdot 10^{19}$, см $^{-3}$: 10, 12 — 0.4; 11, 13 — 1.8.

суммы значений подынтегральных функций в точках, распределенных неравномерно на интервале интегрирования с учетом характера изменения подынтегральной функции, что позволяет повысить точность вычислений.

В случае акустического механизма рассеяния, который обычно считают преобладающим в Bi_2Te_3 и твердых растворах [5, 6] в исследуемом температурном интервале 77—300 К, параметр рассеяния $r = -0.5$. Однако при обработке экспериментальных данных по гальваномагнитным эффектам при определении эффективной массы m/m_0 и подвижности μ_0 в широкой области изменения концентраций носителей заряда для $r = -0.5$ наблюдалось увеличение μ_0 с ростом концентрации носителей и соответственно уменьшение m/m_0 . Такие зависимости μ_0 от концентрации носителей заряда не могли быть объяснены с помощью обычных представлений о корреляции между числом рассеивающих

центров и величиной подвижности. Анализ температурных зависимостей коэффициента термоэдс $\alpha(T)$ и параметра вырождения $\beta(T)$, изменения подвижности μ_0 и эффективной массы m/m_0 в образцах с различными концентрациями носителей показал, что величина параметра рассеяния отличается от -0.5 . Учет дополнительного рассеяния, обусловленного легирующими примесями и атомами второго компонента твердого раствора, не объяснял указанной совокупности экспериментальных данных, что привело к необходимости вве-

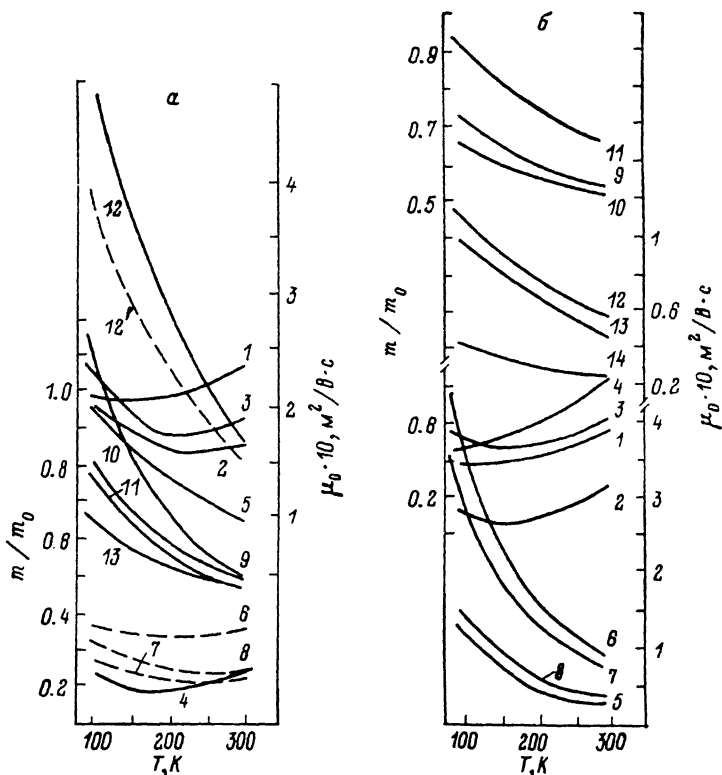


Рис. 2. Температурные зависимости эффективной массы m/m_0 и подвижности μ_0 в $\text{Bi}_{2-x}\text{Sb}_x\text{Te}_{3-y}\text{Se}_y$, $\text{Bi}_2\text{Te}_{3-x}\text{S}_x$ и $\text{Bi}_{2-x}\text{In}_x\text{Te}_3$ с учетом r_s .

(а) $\text{Bi}_{2-x}\text{Sb}_x\text{Te}_{3-y}\text{Se}_y$: 1—5 — m/m_0 ; 9—13 — μ_0 ; 6—8 — m/m_0 ; 12 — μ_0 ; ($r = -0.5$). x и y : 1, 6, 9 — 0.08 и 0.12; 2, 3, 8, 10, 11 — 0.2 и 0.3; 4, 5, 7, 12, 13 — 0.4 и 0.6 (r_s); $n \cdot 10^{-19}$, см $^{-3}$: 1, 9 — 2.0; 2, 10 — 1.6; 3, 11 — 2.8; 4, 12 — 0.08; 5 — 1.9; ($r = -0.5$); $n \cdot 10^{-19}$, см $^{-3}$: 6 — 0.35; 7 — 0.1; 8 — 0.45. (б) $\text{Bi}_2\text{Te}_{3-x}\text{S}_x$: 1—4 — m/m_0 ; 5—8 — μ_0 ; x : 1, 4, 3, 8 — 0.21; 2, 3, 6, 7 — 0.12; $n \cdot 10^{-19}$, см $^{-3}$: 1, 8 — 0.42; 2, 6 — 0.5; 3, 7 — 1.1; 4, 5 — 2.6. (r_s); $\text{Bi}_{2-x}\text{In}_x\text{Te}_3$: 9—11 — m/m_0 ; 12—14 — μ_0 ; x : 9, 10, 12, 13 — 0.06; 11, 14 — 0.12. $n \times 10^{-19}$, см $^{-3}$: 9, 13 — 0.82; 10, 12 — 0.23; 11, 14 — 1.8.

дения эффективного параметра рассеяния r_s , который был рассчитан вместе с приведенным уровнем Ферми η из выражений для термоэдс

$$\alpha = \frac{k}{e} \left[\frac{(r + \frac{5}{2}) F_{r+\frac{3}{2}}(\eta)}{(r + \frac{3}{2}) F_{r+\frac{1}{2}}(\eta)} - \eta \right] \quad (7)$$

и параметра вырождения β [формула (6)], по методу прямого поиска [7], когда r и η являлись независимыми варьируемыми параметрами. При этом величины β определялись из данных по гальваномагнитным эффектам при расчете параметров поверхности постоянной энергии в рамках многодолинной модели энергетического спектра [8].

Эффективная масса плотности состояний m/m_0 и подвижность носителей заряда μ_0 были получены по известным формулам [9], применимым для полупроводника в области примесной проводимости при произвольном вырождении:

$$n = \frac{4}{\sqrt{\pi}} \left(\frac{2\pi m_0 k}{\hbar^2} \right)^{3/2} T^{3/2} F_{1/2}(\eta) \left(\frac{m}{m_0} \right)^{3/2}, \quad (8)$$

$$c = ne\mu, \mu = \frac{\sqrt{\pi}}{2} \frac{F_{r+\frac{1}{2}}(\eta)}{\Gamma(r + \frac{3}{2}) F_{\frac{1}{2}}(\eta)} \mu_0, \quad (9)$$

где $\Gamma(t)$ — гамма-функция вида

$$\Gamma(t) = \frac{1}{t} \int_0^\infty x^t \exp(-x) dx = \frac{\Gamma(t+1)}{t} \quad (10)$$

в общем случае от любого нецелого аргумента рассчитывалась аналогично интегралам Ферми (5) в соответствии с работой [3].

На рис. 1, 2 представлены температурные зависимости m/m_0 и μ_0 для r_s в $n\text{-Bi}_2\text{Te}_3$ и твердых растворах. Для сравнения на тех же рисунках приведены значения m/m_0 и μ_0 , полученные при $r=-0.5$. Близкие значения m/m_0 и μ_0 для r_s и $r=-\frac{1}{2}$ были получены только при низких концентрациях носителей в образцах $n\text{-Bi}_2\text{Te}_3$ (рис. 1, a, б, кривые 1, 1', 4, 4'), $\text{Bi}_2\text{Te}_{2.88}\text{Se}_{0.12}$ (рис. 1, б, кривые 1, 4, 6, 7) и $\text{Bi}_{1.6}\text{Sb}_{0.4}\text{Te}_{2.4}\text{Se}_{0.6}$ (рис. 2, a, кривые 4, 7, 12, 12').

Учет r_s при расчете эффективной массы привел к увеличению m/m_0 с ростом концентрации носителей в отличие от зависимости m/m_0 от n при $r=-0.5$, где для высоких концентраций носителей значения m/m_0 уменьшались, вследствие того что концентрации носителей значительно отличались от действительных значений n , определенных в сильном магнитном поле (см. таблицу).

Увеличение m/m_0 с ростом n наблюдалось как в $n\text{-Bi}_2\text{Te}_3$, так и в твердых растворах при сравнении образцов с одинаковым содержанием второго компонента, что можно связать при анализе экспериментальных данных в рамках однозонной модели с влиянием дополнительной подзоны, характеризующейся большей эффективной массой [8, 9].

С увеличением содержания второго компонента в твердых растворах $\text{Bi}_2\text{Te}_{3-x}\text{Se}_x$ и $\text{Bi}_2\text{Te}_{3-x}\text{S}_x$ эффективная масса возрастает в образцах с близкими концентрациями носителей заряда (рис. 1, б, кривые 2, 10; рис. 2, б, кривые 1, 2), при этом m/m_0 в твердом растворе $\text{Bi}_2\text{Te}_{3-x}\text{Se}_x$ больше, чем в $\text{Bi}_2\text{Te}_{3-x}\text{S}_x$. Такие изменения m/m_0 в зависимости от состава твердого раствора согласуются с величиной ширины запрещенной зоны E_g [6, 10], так как с ростом x в твердом растворе величины E_g возрастают, и E_g больше в $\text{Bi}_2\text{Te}_{3-x}\text{Se}_x$, чем в $\text{Bi}_2\text{Te}_{3-x}\text{S}_x$.

Температурные зависимости эффективной массы определяются тепловым расширением кристаллической решетки, вследствие чего эффективная масса возрастает с температурой, и электрон-фононным взаимодействием, приводящим к уменьшению m/m_0 . Преимущественное влияние одной из указанных причин в области температур ниже или выше температуры Дебая ($T_D=155$ К для Bi_2Te_3), где наблюдался перегиб для ряда температурных зависимостей m/m_0 (рис. 1, б, кривая 3; рис. 2, a, кривые 1, 3, 4; рис. 2, б, кривые 2, 3), может приводить как к возрастанию, так и к уменьшению эффективной массы с температурой.

При определении подвижности носителей μ_0 (рис. 1, 2) учет r_s приводит к уменьшению μ_0 и величин $d \lg \mu_0(T)/dT$ с ростом n вследствие увеличения числа рассеивающих центров. Особенно заметное уменьшение μ_0 наблюдалось в образцах с концентрациями $n > (2 \div 3) \cdot 10^{19} \text{ см}^{-3}$ в отличие от μ_0 для $r=-0.5$, что связано с большой погрешностью в определении концентрации носителей для $r=-0.5$, как и при расчете эффективной массы.

Значения μ_0 уменьшаются по мере увеличения размеров искажений в кристаллической решетке теллурида висмута, которые обусловлены замещениями атомов при образовании твердых растворов. В твердых растворах изоморфных

Концентрации носителей заряда в $n\text{-Bi}_2\text{Te}_3$, полученные при учете эффективного параметра рассеяния r_s для акустического механизма рассеяния ($r=-0.5$) и из данных измерений эффекта Холла в сильном магнитном поле [10]

№ п. п.	$n \cdot 10^{-19} \text{ см}^{-3}$		
	r_s	$r = -0.5$	сильное магнит- ное поле
1	0.65	0.42	0.73
2	0.85	0.55	0.97
3	1.45	0.65	1.84
4	1.65	0.75	1.92

соединений ($\text{Bi}_2\text{Te}_{3-x}\text{Se}_x$) величины μ_0 при близких концентрациях носителей значительно больше, чем в материалах, образованных неизоморфными соединениями ($\text{Bi}_{2-x}\text{S}_x$, $\text{Bi}_{2-x}\text{In}_x\text{Te}_3$).

Л и т е р а т у р а

- [1] Drabble T. R., Groves R. D., Wolfe R. // Proc. Phys. Soc. 1958. V. 71. N 3. P. 430—443.
- [2] Caywood L. P., Miller G. R. // Phys. Rev. 1970. V. 2. N 8. P. 3210—3220.
- [3] Кутасов В. А., Лукьянова Л. Н. // Алгоритмы и математическое обеспечение для физических задач. Л., 1981. С. 63—74.
- [4] Агеев М. И., Алик В. П., Марков Ю. И. // Библиотека алгоритмов 1516—2006. М., 1981. В. 4. С. 60—73.
- [5] Ефимова Б. А., Кельман Б. В., Стильбанс Л. С. // ФТТ. 1962. Т. 4. В. 1. С. 152—156.
- [6] Гольцман Б. М., Кудинов В. А., Смирнов И. А. Полупроводниковые термоэлектрические материалы на основе Bi_2Te_3 . М., 1972. 320 с.
- [7] Hoke R., Jewes T. A. // J. ACH. 1981. V. 8. N 2. P. 212—229.
- [8] Кутасов В. А., Лукьянова Л. Н. // ФТТ. 1982. Т. 24. В. 2. С. 402—405.
- [9] Asworth H. A., Rayne J. A. // Phys. Rev. B. 1971. V. 3. N 8. P. 2646—2661.
- [10] Бекдурдыев Ч. Д., Гольцман Б. М., Кутасов В. А., Петров А. В. // ФТТ. 1974. Т. 16. В. 7. С. 2121—2122.

Физико-технический институт
им. А. Ф. Иоффе АН СССР
Ленинград

Получена 23.05.1988
Принята к печати 20.12.1988